

国鉄 構造物設計事務所 正員 守屋 隆雄  
 国鉄 鉄道技術研究所 浅沼 久志  
 国鉄 東京オート工事局 正員 ○唐沢 徹

## 1 まえがき

近年PC工法は、土木建築の分野を問わず広く利用されており。しかし、最近施工の省力化および急速施工が強く要望されてきており、グラウト不要のアンボンドPC工法が注目されています。

アンボンドPC工法は、PC鋼材の表面をアスファルト、エポキシ樹脂、グリースなどで被覆することにより直接コンクリートを打込むグラウト不要の工法である。この工法によると従来のグラウトありの工法の場合に比して、施工性の向上、工事費の低減、PC鋼棒の錆病防止をはかることが可能となる。ここでは設計上の資料を得るため、アスファルト系の被覆材をほどこしたアンボンドPC鋼棒を、PC箱形けたの上床版に横筋として使用し、プレストレスの伝達効率と経時変化、および列車走行時にかかる応力変動について測定を行なった。

## 2 測定方法

試験橋りょうは、東海道本線小田原市位置する複線PC箱形けた（スパン33.2m・幅員9.5m）の鉄道橋であり上床版の横筋を用いて、けたスパン中央部附近に、PC鋼棒（径26mm）41本中13本にアスファルト系被覆材をほどこした（径26mm）のアンボンドPC鋼棒を用いた。（図-1参照）

図-2に示すように一様断面につきPC鋼棒の表面に歪ゲージを貼付し、また緊張端、中央部、固定端の三ヶ所にコンクリート応力測定のため、鉄筋計を埋め込んだ。各本測定は昭和52年1月17日より昭和52年11月28日まで行なったものである。

### 3 コーティングの傷付き易さ

アンボンドPC鋼棒のコーティング材は、施工時に傷付きやすると思われる。

コーティング材が傷付きやすくなる要因として、次の項目が考えられる。  
 ①アンボンドPC鋼棒用のスペーサーの配置によるもの。

②コンクリートの打ち込みによるもの ③パイプレーターが接触した場合によるもの 以上の三要因について次に述べる方法で測定した。  
 ①については、スペーサーとして径13mmの鉄筋を2m間隔K、U型スペーサーを長手方向60mmを2m間隔L配置した場合のコーティング材のへこみ量を測定し、結果を表-1に示す。  
 ②についてはコンクリートの打ち込みを想定して、砂利（最大径25mm）、鉄筋（径16mm）を高さ1m程度より落下させた。へこみ量は0.2mm程度である。  
 ③についてはコーティング材の表面に棒状バイブレーターを接触させた。へこみ量は0.3mm以下である。

4 プレストレスの伝達状況

プレストレスの導入においては片引き緊張とし、PC鋼棒の伸び量が1~2mm/sとあるようなく、手動にて油圧ジャッキで緊張を行ない、緊張終了直後のアンボンドPC鋼棒の歪結果を図-2に、経時変化状態を図-3に示す。表-2の上欄には、設計用摩擦係数として $\mu = 0.005$ を使用した場合の緊張端、中央部、固定端の測定値と、下欄には理論式を用いた計算値を示す。この結果をみると測定値と計算値はほぼ同様な傾向を示していることがわかる。なお摩擦係数測定時の上スラブ中央部のコンクリート温度は14°Cである。

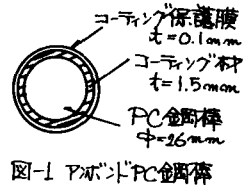


図-1 アンボンドPC鋼棒

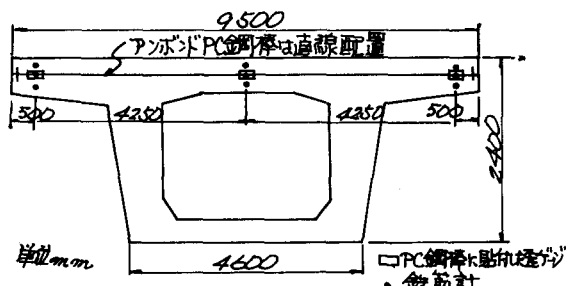


図-2 ゲージ取り配置図

表-1 スペーサーによるへこみ量

Φ13mm鉄筋	U型スペーサー
最大 0.7mm	最大 0.2mm

表-2 直一覧表

		緊張端	中央部	固定端	( $\times 10^{-6}$ ) 摩擦係数
A	測定値	3179	3134	3033	0.006
	計算値	3179	3112	3047	0.005
B	測定値	3199	3169	2990	0.008
	計算値	3199	3132	3066	0.005

注) L: 緊張部材長 E: 緊張端直角応力 固定端直角応力  
理論式:  $E_0 = E_0^* \cdot L$

### 5 列車走行時

図-2に示すゲージを用いて、列車走行時のPC鋼牌およびコンクリートの応力度を測定した。けた上スラブの中央部のPC鋼牌の応力度の測定結果を表-3に示す。各PC鋼牌の位置が線路方向 $\rightarrow$ 同一であるため、線路方向に等分布荷重として考えた時のため比で補正した結果を表-3にあわせて示す。アンボンドより普通PC鋼牌については、補正結果から列車載荷時にほぼ近似した応力度を示した。コンクリート応力度についてはも線路直角方向の応力度が引張応力度となり、各PC鋼牌の応力度が引張応力となる。左二つについては、線路方向を右方向。線路直角方向を左方向とした二元方向を考慮した次式を用いて、PC鋼牌の同位置のコンクリート応力度を検討を行なった。

$$\sigma_x = \frac{1}{1-\nu^2} (\bar{\sigma}_x + \nu \bar{\sigma}_y)$$

注  $\sigma_x, \sigma_y$ : 二元方向との応力値

$$\sigma_y = \frac{1}{1-\nu^2} (\nu \bar{\sigma}_x + \bar{\sigma}_y)$$

$\bar{\sigma}_x, \bar{\sigma}_y$ : 一元方向との応力値

$\nu$ : ポアソン比

一例としてアンボンドPC鋼牌Aの1回目の場合のコンクリート応力度について検討した結果を表-4に示す。

このことにより列車走行による線路方向の曲げによるびアンモリ直角方向上スラブに引張応力として生じてゐると想われる。

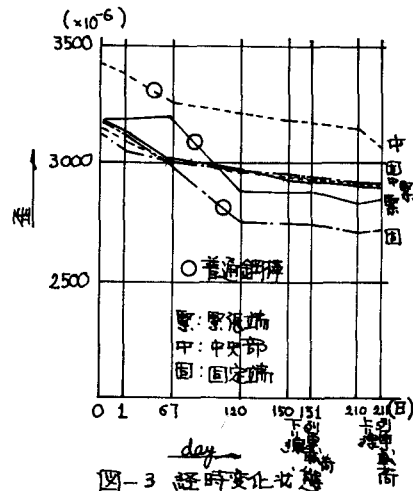


表-3 PC鋼牌応力度

	測定値		補正值	
	1回目	2回目	1回目	2回目
アンボンド A	89	87	89	87
アンボンド B	82	86	84	89
普通 A	64	63	87	86
普通 B	41	41	83	83

注: 引張応力度

表-4 コンクリート応力度

測定値	計算値	備考
1.71	3.26	計算値はKS相当値(3.26)と

注: 引張応力度

### 7まとめ

- 1) 緊張時の長手方向の摩擦による緊張力の差は、経時変化とともに小さくなる。(アンボンドPC鋼牌の滑動現象)
- 2) アンボンドPC鋼牌は、普通PC鋼牌(グラウトあり)に比べて、線路直角方向においては、列車載荷時応力状態にはほとんど差はないと思われる。活荷重の影響の小さい線路直角方向を使用する場合には、アンボンドPC鋼牌は、施工性および経済性の点で有利であることを十分使用可能と考えられる。

なほ、本論文のまとめに当て、東京工業大学、長尾重義助教授へ御指導いただいたことを深謝いたします。

参考文献 構造物設計資料 No.43 小林明夫他:アンボンドPC鋼牌の静的および現場試験